

§ 8.8. АВТОКОЛЕБАНИЯ ПРИ ФОТОСИНТЕЗЕ

Периодические процессы непосредственно проявляются в физиологии как животных, так и растительных организмов. Речь идет прежде всего о процессах, связанных с вращением Земли вокруг ее оси, со сменой дня и ночи, таких, например, как чередование сна и бодрствования. В связи с этим было введено понятие *биологических часов* [66]. Хальберг назвал *циркадными ритмами* биологические колебания с периодом, близким к суточному [83]. Питтендрай перечисляет характерные особенности циркадных ритмов в статье [84]. Циркадные ритмы повсеместны в живой природе и имеют эндогенный и врожденный характер. Физическая причина циркадных ритмов лежит в автоколебательных процессах, периоды их практически независимы от температуры и от химических возмущений. Они автономны на клеточном и организменном уровне.

Наряду с циркадными, суточными, ритмами периодических изменений состояния всего организма в живой природе наблюдается ряд колебательных явлений с другой периодичностью, которые также следует отнести к категории биологических часов. Рассмотрим в качестве примера колебания интенсивности фотосинтеза. Ясно, что фотосинтез непосредственно связан с освещенностью. Скорости поглощения CO_2 и выделения O_2 зелеными растениями также периодичны. По-видимому, периодичность, определяемая эндогенным ритмом, свойственна темновому циклу Кальвина (см. стр. 360), так как реакции светового цикла протекают очень быстро — за доли секунд. По-видимому, ритм, связанный с темновым циклом, характеризуется периодом, существенно меньшим суток. Однако этот ритм хорошо синхронизуется с периодической освещенностью.

Очевидно, что непосредственно наблюдаемый ритм фотосинтеза должен определяться периодическими биохимическими процессами темнового цикла. Мы видели, что периоды колебаний ферментативной активности могут быть и весьма длительными. Теоретическая модель колебаний в темновых реакциях фотосинтеза разработана Чернавским и его сотрудниками [18, 85—87].

В цикле Кальвина участвуют трехуглеродные, пятиуглеродные и шестиуглеродные соединения (см. рис. 7.18). Написание всех кинетических уравнений для цикла приводит к системе, слишком сложной для исследования. Как справедливо указывается в [18], целесообразно максимальное упрощение системы, сохраняющее, однако, ее основные качественные особенности. Кинетика процесса лимитируется медленными стадиями, быстрые обратимые стадии могут рассматриваться как равновесные. Поэтому следует ограничиться рассмотрением лимитирующих стадий. В сущности, такая процедура уже применялась при ана-

лизе ферментативных реакций в §§ 8.6, 8.7. Упрощение систем кинетических уравнений проводится на строгих математических основаниях. Рассмотрим их вкратце (ср. [18]).

Имеем исходную систему типа

$$\dot{x}_i = F_i(x_1, x_2, \dots, x_N), \quad i = 1, 2, \dots, N. \quad (8.6)$$

Допустим, что после ряда преобразований и выбора соответствующих масштабов удается расположить эту систему по степеням малого параметра ε при производной

$$\left. \begin{aligned} \varepsilon^2 \dot{x}_i &= F_i(x_1, \dots, x_N), & i &= 1, 2, \dots, l, \\ \varepsilon \dot{x}_j &= F_j(x_1, \dots, x_N), & j &= l+1, \dots, l+m, \\ \dot{x}_k &= F_k(x_1, \dots, x_N), & k &= l+m+1, \dots, N. \end{aligned} \right\} \quad (8.99)$$

Коэффициенты ε^2 и ε определяют скорости изменений переменных x . В самом деле, систему (8.99) можно переписать в виде

$$\dot{x}_i = \frac{1}{\tau_1} F_i, \quad \dot{x}_j = \frac{1}{\tau_2} F_j, \quad \dot{x}_k = \frac{1}{\tau_3} F_k,$$

где $\tau_1 = \varepsilon^2$, $\tau_2 = \varepsilon$, $\tau_3 = 1$, т. е. $\tau_1 \ll \tau_2 \ll \tau_3$. Если существенно поведение системы как на малых отрезках времени порядка τ_1 , так и на больших порядка τ_3 , то приходится изучать систему в целом. В других случаях ситуация иная. Так, если важны явления, происходящие за средние времена порядка τ_2 , то система упрощается. В самом деле, за эти времена «медленные» переменные x_k не успевают измениться, и можно заменить их начальными, постоянными значениями. Напротив, «быстрые» переменные x_i успевают достичь своих стационарных значений, если такие существуют. Значит, переменные x_i можно заменить их стационарными значениями. Таким образом, из N уравнений остаются лишь m уравнений.

Математическое обоснование процедуры связано с так называемой теоремой Тихонова (см. [18, 113, 114]).

Вернемся к фотосинтезу. Чернавский и сотрудники ограничились здесь исследованием всего лишь двух кинетических уравнений, в которых в качестве независимых переменных фигурируют концентрации трехуглеродных и шестиуглеродных соединений C_3 , C_6 . Остальные переменные выражаются алгебраически через C_3 , C_6 . Так как в цикле Кальвина протекают в основном бимолекулярные реакции, кинетика выражается уравнениями второго порядка

$$\left. \begin{aligned} \dot{C}_3 &= \alpha_1 C_3^2 + \alpha_2 C_3 C_6 + \alpha_3 C_6^2, \\ \dot{C}_6 &= \beta_1 C_3^2 + \beta_2 C_3 C_6 + \beta_3 C_6^2. \end{aligned} \right\} \quad (8.100)$$

В первом уравнении $\alpha_3 = 0$ — концентрация триоз C_3 не изменяется в результате взаимодействия двух гексоз. Увеличение C_6 может осуществляться лишь за счет соединения двух молекул C_3 . Следовательно, $\beta_1 > 0$, $\beta_2, \beta_3 < 0$. Увеличение содержания триоз происходит в более сложном процессе, в котором участвуют как сами триозы, так и гексозы C_6 . Можно положить $\alpha_1 > 0$, $\alpha_2 < 0$. Мы получаем уравнения

$$\left. \begin{array}{l} \dot{C}_3 = \alpha_1 C_3^2 - \alpha_2 C_3 C_6, \\ \dot{C}_6 = \beta_1 C_3^2 - \beta_2 C_3 C_6 - \beta_3 C_6^2, \end{array} \right\} \quad (8.101)$$

где все коэффициенты $\alpha_i, \beta_i > 0$.

Находим изоклины и стационарные состояния, отвечающие $C_3 = \dot{C}_6 = 0$. Обе изоклины представляют собой прямые линии, проходящие через начало координат, их уравнения $C_6 = a_1 C_3$ и $C_6 = a_2 C_3$, где a_1 и a_2 удовлетворяют условиям $\alpha_1 - \alpha_2 a_1 = 0$ и $\beta_1 - \beta_2 a_2 - \beta_3 a_2^2 = 0$. Имеется лишь одно стационарное состояние $C_3^0 = C_6^0 = 0$ при $a_1 \neq a_2$ или бесконечное множество таких состояний при $a_1 = a_2$. Первый случай соответствует отсутствию фотосинтеза, второй — безразлично неустойчивым состояниям равновесия. Предельных циклов нет, нет и колебаний. Следовательно, система (8.101) недостаточна, модель требует доработки. Чернавский вводит в первое уравнение добавочный постоянный член $\alpha_0 > 0$, описывающий скорость притока C_3 , возникающего в других процессах, отличных от цикла Кальвина (гликолиз, дыхание). Такой приток служит инициатором цикла. Необходимость пускового механизма характерна для автокатализма. Итак,

$$\left. \begin{array}{l} \dot{C}_3 = \alpha_1 C_3^2 - \alpha_2 C_3 C_6 + \alpha_0, \\ \dot{C}_6 = \beta_1 C_3^2 - \beta_2 C_3 C_6 - \beta_3 C_6^2. \end{array} \right\} \quad (8.102)$$

Исследуем эту систему уравнений. Переидем к переменным $X = C_3/C_3^0$, $Y = C_6/C_6^0$, где C_3^0, C_6^0 — стационарные значения C_3, C_6 , получаемые из условий $\dot{C}_3 = \dot{C}_6 = 0$. Имеем

$$\left. \begin{array}{l} \dot{X} = \bar{\alpha}_1 X^2 - \bar{\alpha}_2 X Y + \bar{\alpha}_0, \\ \dot{Y} = \bar{\beta}_1 X^2 - \bar{\beta}_2 X Y - \bar{\beta}_3 Y^2, \end{array} \right\} \quad (8.103)$$

где $\bar{\alpha}_1 = \alpha_1 C_3^0$, $\bar{\alpha}_2 = \alpha_2 C_6^0$, $\bar{\alpha}_0 = \alpha_0/C_3^0$, $\bar{\beta}_1 = \beta_1 C_3^{02}/C_6^0$, $\bar{\beta}_3 = \beta_3 C_3^0$, $\bar{\beta}_2 = \beta_2 C_6^0$. В стационарном состоянии $X = Y = 1$, $\dot{X} = \dot{Y} = 0$. Следовательно,

$$\left. \begin{array}{l} \bar{\alpha}_1 - \bar{\alpha}_2 + \bar{\alpha}_0 = 0, \\ \bar{\beta}_1 - \bar{\beta}_2 - \bar{\beta}_3 = 0. \end{array} \right\} \quad (8.104)$$

Далее опустим черту над буквами α_i и β_i . В стационарном режиме коэффициент β_1 представляет количество гексозы, образующейся в единицу времени из триозы, β_2 — количество гексозы, уходящее из цикла Кальвина и образующее крахмал, β_3 — количество гексозы, возвращающееся в цикл. Для ухода одной молекулы гексозы нужно шесть оборотов цикла, так как в цикле усваивается одна молекула CO_2 . Поэтому $\beta_2 = \beta_3/6$. Следовательно, $\beta_3 = 6\beta_1/7$, $\beta_2 = \beta_1/7$. С другой стороны, $\alpha_0 \ll \alpha_1$, $\alpha_0 \ll \alpha$. Имеем, вводя безразмерное время $\tau = t/\tau' = \alpha_1 t$,

$$\left. \begin{aligned} \frac{dX}{d\tau} &= X^2 - \frac{\alpha_2}{\alpha_1} XY + \frac{\alpha_0}{\alpha_1}, \\ \frac{dY}{d\tau} &= \frac{\beta_1}{\alpha_1} \left(X^2 - \frac{1}{7} Y^2 - \frac{6}{7} XY \right). \end{aligned} \right\} \quad (8.105)$$

Линеаризуем систему, рассматривая ее вблизи стационарного состояния, т. е. считая

$$X = 1 + x, \quad Y = 1 + y, \quad x, y \ll 1.$$

Получаем из системы (8.105), исключив α_2 с помощью первого соотношения (8.104),

$$\left. \begin{aligned} \frac{dx}{d\tau} &= (1 - \gamma) x - (1 + \gamma) y, \\ \frac{dy}{d\tau} &= \frac{8}{7} \epsilon (x - y), \end{aligned} \right\} \quad (8.106)$$

где $\gamma = \alpha_0/\alpha_1$, $\epsilon = \beta_1/\alpha_1$. Ищем решения в виде

$$x = x_0 \exp \lambda \tau, \quad y = y_0 \exp \lambda \tau.$$

Находим корни характеристического уравнения

$$\lambda_{1,2} = \frac{1}{2}(1 - \gamma - \frac{8}{7}\epsilon) \pm [\frac{1}{4}(1 - \gamma - \frac{8}{7}\epsilon)^2 - \frac{16}{7}\epsilon\gamma]^{\frac{1}{2}}. \quad (8.107)$$

Стационарное состояние $x = y = 0$ устойчиво, если действительная часть λ отрицательна, т. е. если

$$1 - \gamma - \frac{8}{7}\epsilon < 0,$$

и неустойчиво в противоположном случае.

Переход к неустойчивому режиму происходит при $\epsilon = \frac{7}{8}(1 - \gamma) \approx 0,87$ (так как $\gamma \ll 1$). При увеличении α_1 такой переход оказывается возможным.

Мнимая часть (8.107) определяет колебания. Их период (безразмерный) равен

$$T = \frac{2\pi}{\operatorname{Im} \lambda},$$

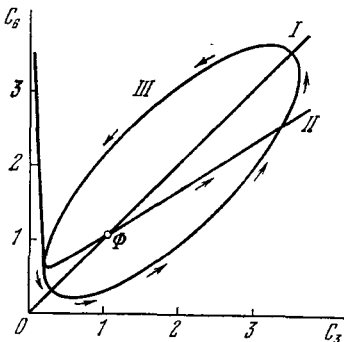
где

$$\operatorname{Im} \lambda = \pm [^{16}/_{7e\gamma} - (\operatorname{Re} \lambda)^2]^{1/2}.$$

При переходе к неустойчивому режиму, когда $\operatorname{Re} \lambda = 0$, имеем

$$T = \frac{2\pi}{\sqrt{^{16}/_{7e\gamma}}}.$$

Поведение системы исследуется обычным методом фазовых диаграмм. Положим для конкретности $\gamma \approx 1/20$ и $e \approx 2/3$. Тогда условие неустойчивости соблюдается, так как



$$\frac{19}{20} > \frac{16}{21}.$$

Интегральные кривые представляются уравнением

$$\frac{dy}{dx} = \frac{2}{3} \frac{x^2 - ^{1/7}y^2 - ^{6/7}xy}{x^2 - ^{21/20}xy + ^{1/20}}. \quad (8.108)$$

Рис. 8.35. Фазовый портрет для модели фотосинтеза [84].

I и II — линии параллельных и перпендикулярных изоклинов, III — предельный цикл. $\Phi (X=Y=1)$ — устойчивый фокус.

На рис. 8.35 показан фазовый портрет системы уравнений (8.106) при указанных значениях u и e . Система является автоколебательной, C_3 и C_6 периодически изменяются с одинаковой фазой. Численное или графическое определение периода колебаний C_3 и C_6 показывает, что он примерно на два порядка больше характеристического времени $\tau' \sim a_1^{-1}$. Это время оценивается в 5—10 мин, период T порядка нескольких часов или суток. Колебания ангармоничны: система проводит большую часть времени в области малых значений концентраций C_3 и C_6 .

Машинные расчеты показывают, что система синхронизуется внешним периодическим воздействием (освещенность). При переходе от одного режима к другому фаза устанавливается медленно.

Более подробное исследование системы уравнений (8.106) выполнено в работе [87] (см. также [18]).

Очевидно, что приведенное рассмотрение максимально упрощенно и не позволяет еще сделать какие-либо количественные выводы. Однако упрощенный подход раскрывает физический смысл автоколебаний при фотосинтезе и показывает, как они могут синхронизоваться суточным ритмом.